

MÁQUINA DE CORRENTE CONTÍNUA (CC)

Cursino B. Jacobina

Dept. de Eng. Elétrica - Universidade Federal de Campina Grande
Campina Grande - PB

Máquina de corrente contínua (CC):

Prós:

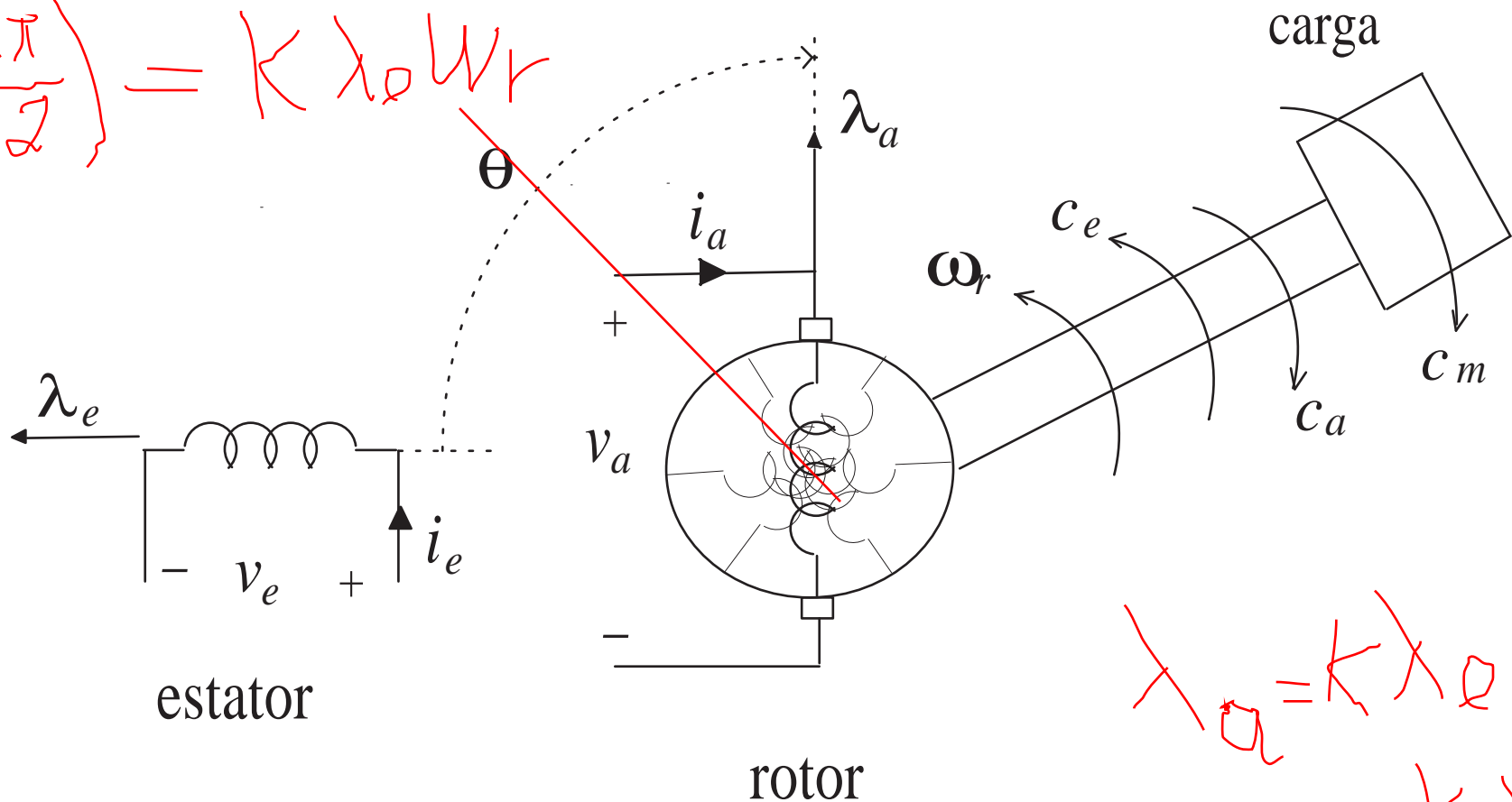
- características dinâmicas muito boas para acionamentos.
- existe um grande número destas máquinas já em operação
- processo físico de fácil compreensão
- modelo bastante simples e de forte apelo intuitivo
- importante para o entendimento dos sistemas CA.

Contras:

- limitações construtivas (comutador de corrente mecânico)
- custo alto de implantação e manutenção

Máquina de corrente contínua (CC)

$$E_a(-\frac{\pi}{2}) = k \lambda_e \omega_r$$



$$\lambda_a = k \lambda_e \cos \theta$$

$$\lambda_a = k \lambda_e \cos \theta$$

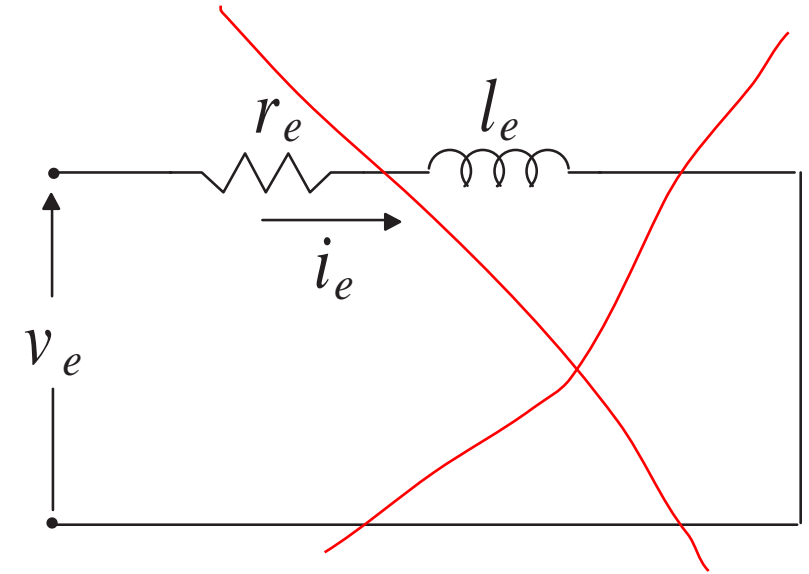
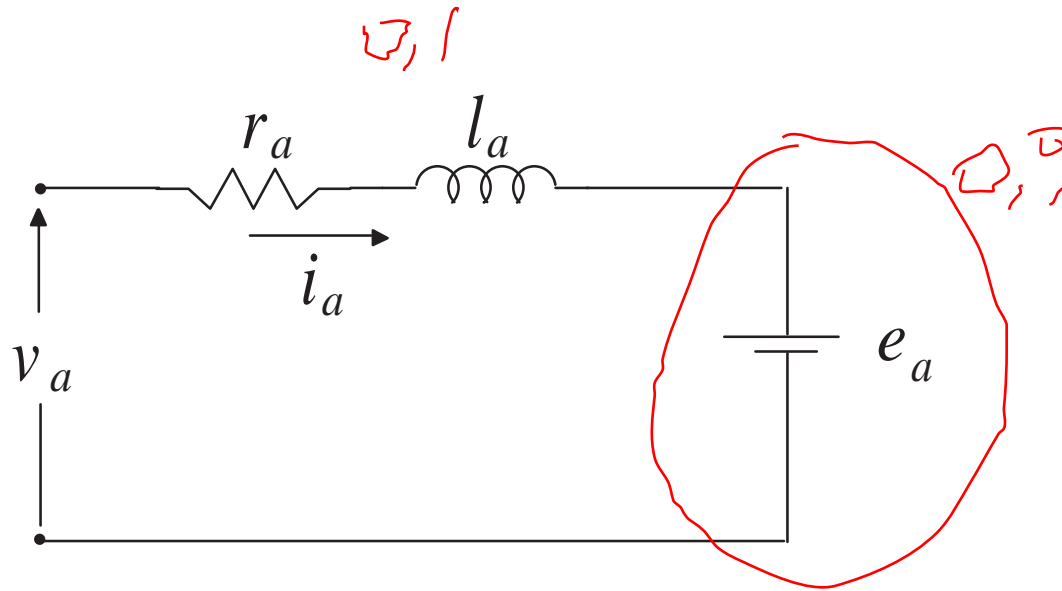
$$E_a = -k \lambda_e \omega_r \sin \theta$$

$$c_e = k |\lambda_a \times \lambda_e| = k \lambda_a \lambda_e \sin(\theta) = k \lambda_a \lambda_e \quad (1)$$

$$v_a = -\omega k \lambda_e \sin \theta$$

$$v_a(-\frac{\pi}{2}) = \omega k \lambda_e$$

Modelo elétrico e circuito equivalente



Rotor

$$v_a = r_a i_a + l_a \frac{di_a}{dt} + e_a$$

$$e_a = k_e \lambda_e \omega_r = k'_e i_e \omega_r$$

Estator

$$v_e = r_e i_e + l_e \frac{di_e}{dt}$$

Modelo mecânico de movimento

Segunda lei de Newton (força resultante = massa x aceleração)

$$c_e - c_m - F_m \omega_r = J_m \frac{d\omega_r}{dt} \quad (2)$$

$$c_e = k\lambda_e \lambda_a = k_e \lambda_e i_a \quad (3)$$

Modelo completo da máquina CC

Equações elétricas:

$$v_a = r_a i_a + l_a \frac{di_a}{dt} + e_a; \quad e_a = k_e \lambda_e \omega_r \quad (4)$$

$$v_e = r_e i_e + l_e \frac{di_e}{dt} \quad (5)$$

Equação mecânica de movimento:

$$c_e - c_m - F_m \omega_r = J_m \frac{d\omega_r}{dt} \quad (6)$$

$$c_e = k_e \lambda_e i_a = k'_e i_e i_a \quad (7)$$

Modelo para excitação constante

Modelo de estado

$$\begin{bmatrix} di_a/dt \\ d\omega_r/dt \end{bmatrix} = \begin{bmatrix} -r_a/l_a & -k_e\lambda_e/l_a \\ k_e\lambda_e/J_m & -F_m/J_m \end{bmatrix} \begin{bmatrix} i_a \\ \omega_r \end{bmatrix} + \begin{bmatrix} 1/l_a & 0 \\ 0 & -1/J_m \end{bmatrix} \begin{bmatrix} v_a \\ c_m \end{bmatrix} \quad (8)$$

Função de transferência

$$\begin{bmatrix} I_a(s) \\ \Omega_r(s) \end{bmatrix} = \begin{bmatrix} G_{ia}(s) & G_{im}(s) \\ G_a(s) & G_m(s) \end{bmatrix} \begin{bmatrix} V_a(s) \\ C_m(s) \end{bmatrix} \quad (9)$$

onde

$$G_a(s) = \frac{K_a}{(T_1s + 1)(T_2s + 1)} \quad G_m(s) = -\frac{K_m(T_as + 1)}{(T_1s + 1)(T_2s + 1)}$$

$T_1 = -1/s_1$, $T_2 = -1/s_2$ $T_a = -1/s_a$ (s_1 e s_2 são os pólos da máquina e s_a um zero)

Conceito de pólo (relação com resposta transitória)

Se aplicarmos um degrau de tensão unitário ($1/s$) no motor sem carga ($c_m = 0$) tem-se

$$\Omega_r(s) = G_a(s) \frac{1}{s} = \frac{K_a}{T_1 T_2 (s + s_1) (s + s_2)} \frac{1}{s}$$

Utilizando a transformada inversa de Laplace, obtém-se no tempo

$$\omega(t) = \underbrace{k_1 e^{s_1 t} + k_2 e^{s_2 t}}_{\text{transitório}} + \omega_{regime} \quad (10)$$

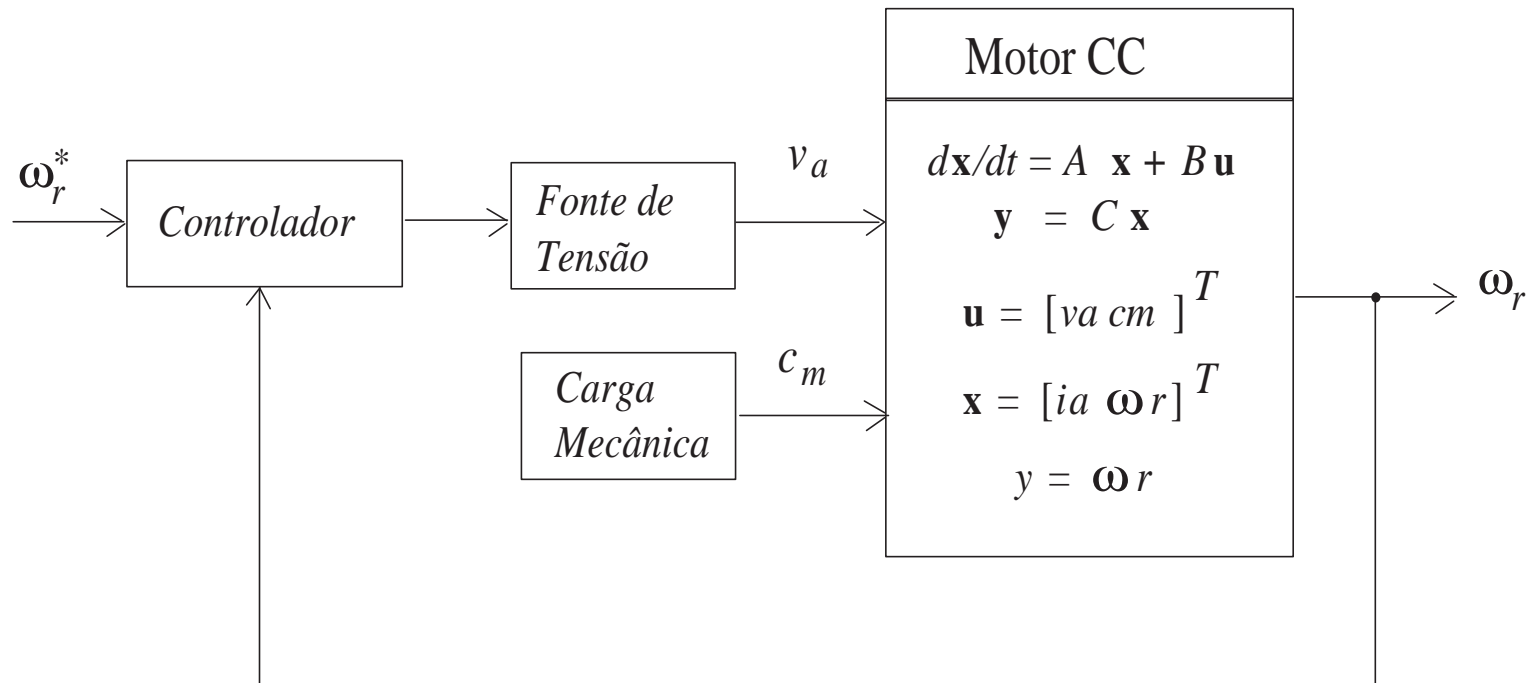
$$\text{transitório} \quad (11)$$

parte real de s_1 e s_2 positiva \Rightarrow sistema instável

parte real de s_1 e s_2 negativa \Rightarrow sistema estável

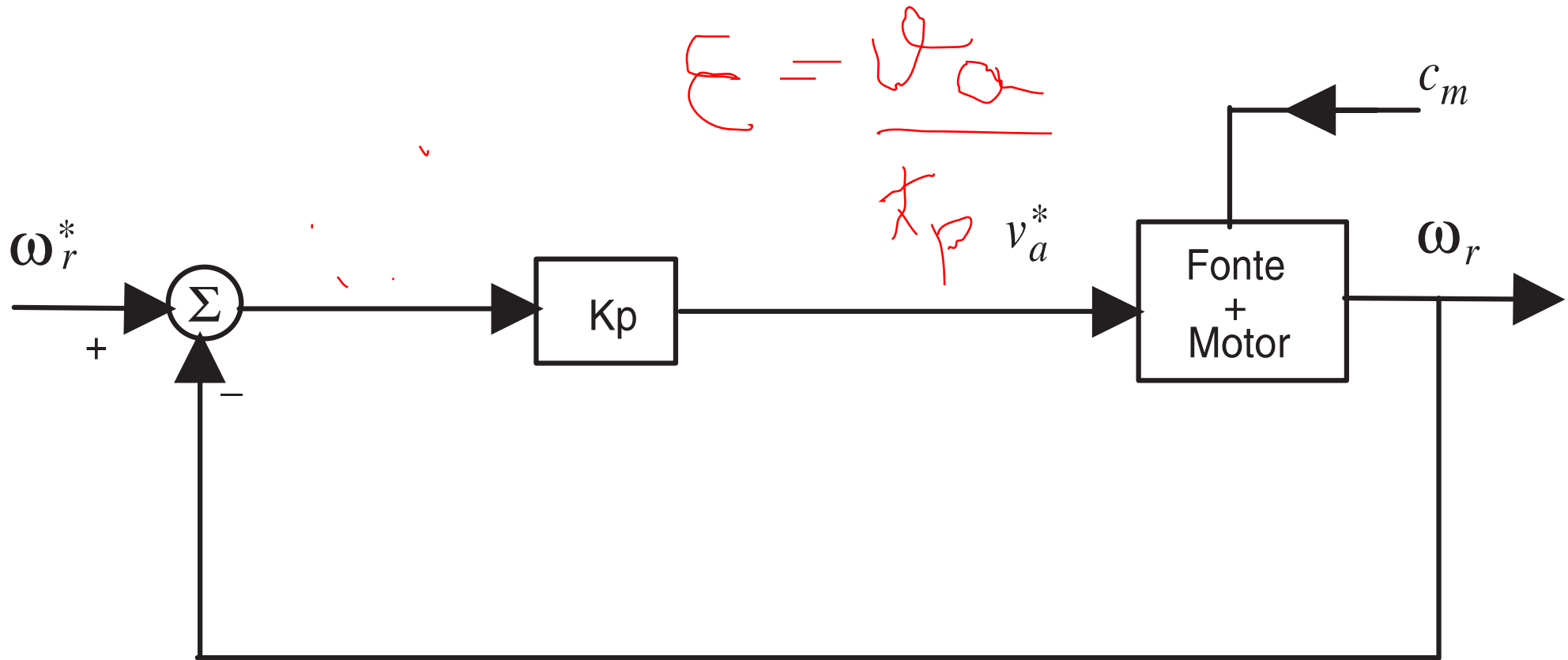
s_1 e s_2 complexos \Rightarrow resposta transitória oscilante

Controle do motor CC



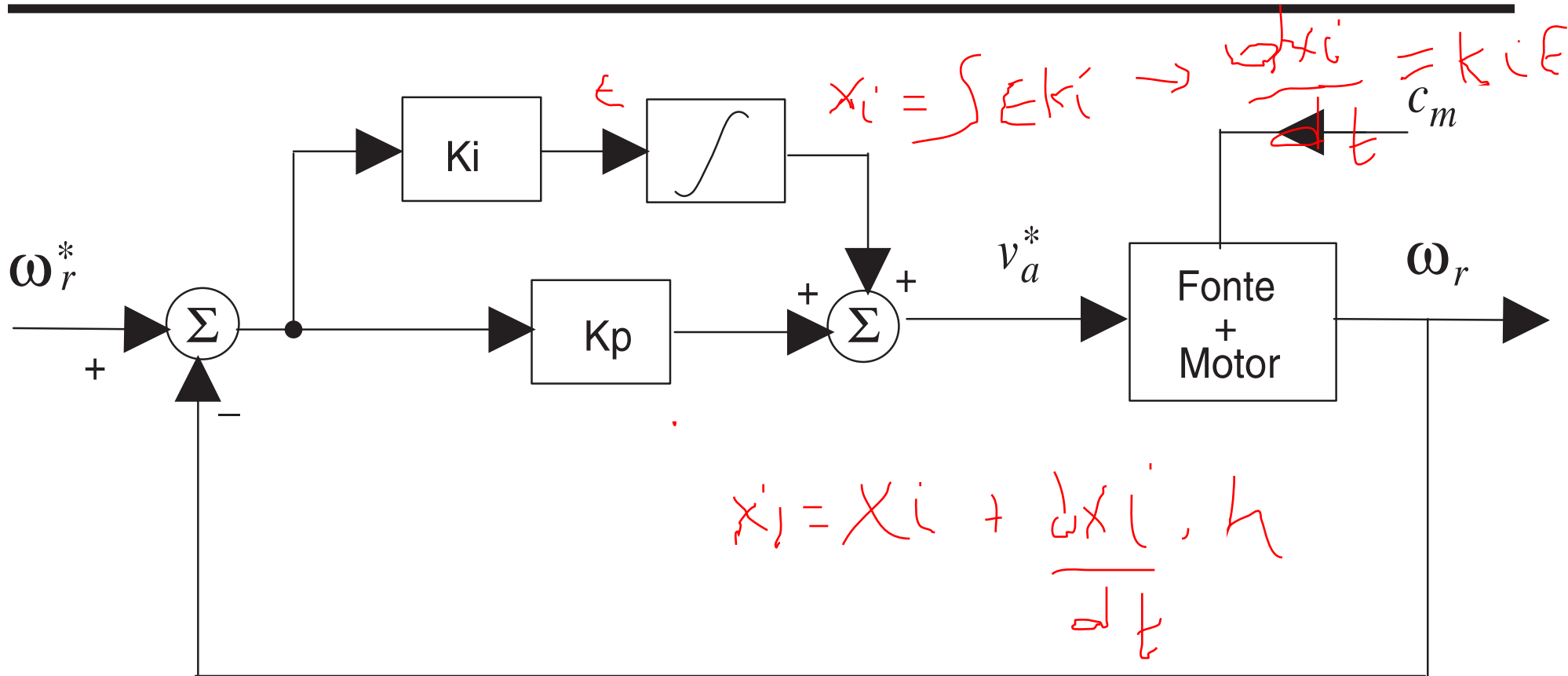
ω_r^* = saída de referência ω_r = saída
 v_a = comando c_m = perturbação

Controle de velocidade P (ação direta na tensão)



$$D(s) = K_p$$

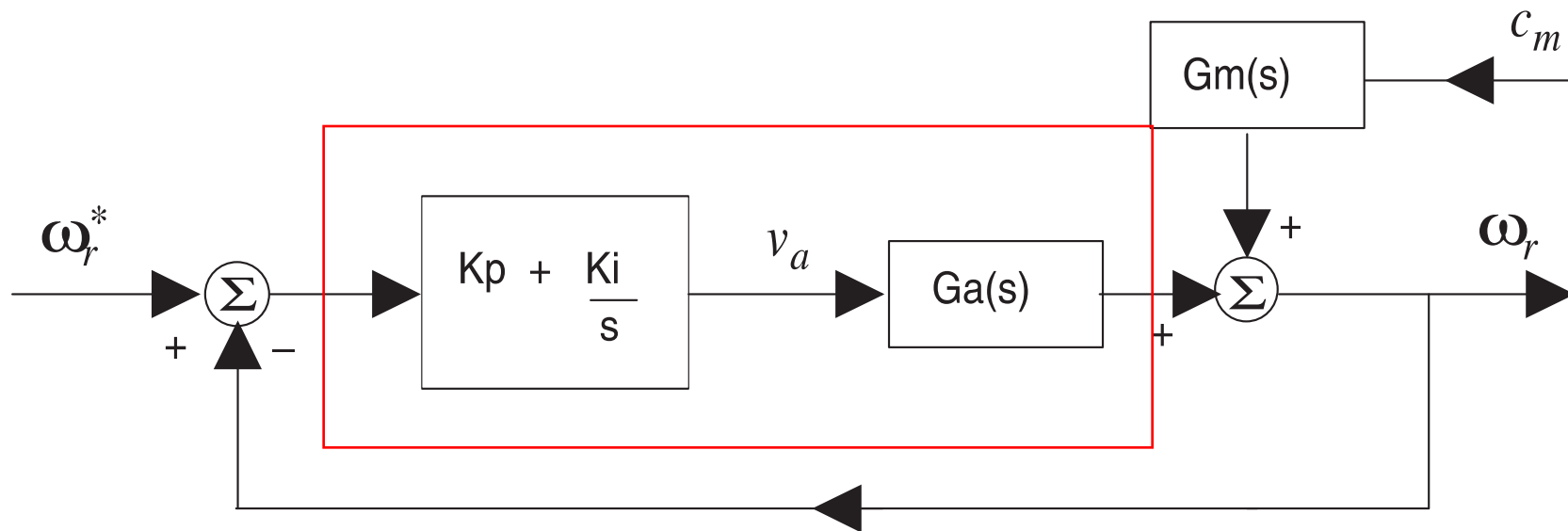
Controle de velocidade PI (ação direta na tensão)



$$S \quad \underline{\hspace{2cm}} \quad s^2 + \omega^2$$

$$D(s) = K_p + \frac{K_i}{s} \quad (12)$$

Sistema com controlador PI



$$D(s) = K_p + \frac{K_i}{s} = \frac{K_i(sK_p/K_i + 1)}{s} \quad (13)$$

Função de transferência de malha aberta com PI

Função de Transferência de malha aberta (3ª ordem)

$$\frac{\Omega_r(s)}{E_\omega(s)} = G_o(s) = D(s)G_a(s) = \frac{K_a}{(sT_1 + 1)(sT_2 + 1)} \frac{K_i(sK_p/K_i + 1)}{s}$$

Função de Transferência de malha aberta com cancelamento de T_1 (2ª ordem):

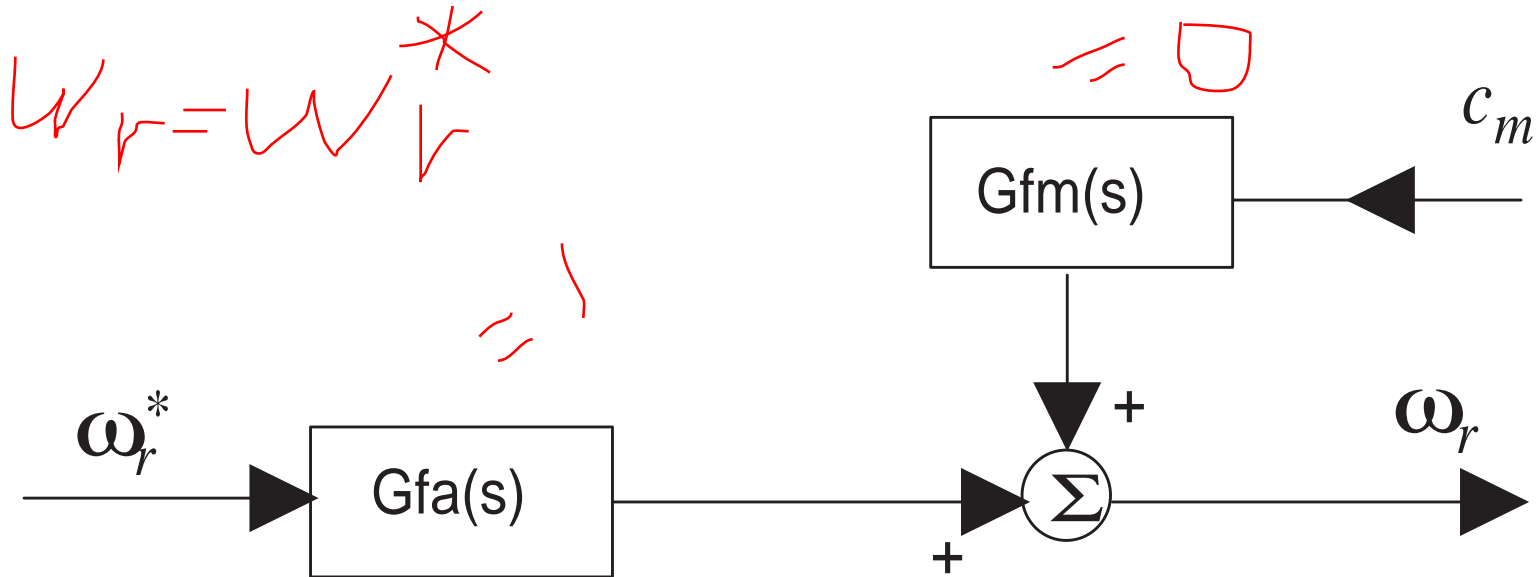
$$G_o(s) = \frac{K_i K_a}{s(T_2 s + 1)} \quad (14)$$

Condição de cancelamento:

$$K_p/K_i = T_1$$

(15)

Função de transferência de malha fechada com PI



$$\frac{\Omega_r(s)}{\Omega_r^*(s)} = G_f(s) = \frac{G_o(s)}{1 + G_o(s)} = \frac{K_i K_a}{s(T_2 s + 1) + K_i K_a} \quad (16)$$

$$\frac{\Omega_r(s)}{C_m(s)} = G_{fm}(s) = \frac{G_m(s)}{1 + G_o(s)} = -\frac{K_m (T_a s + 1) s}{(T_1 s + 1) (s(T_2 s + 1) + K_i K_a)} \quad (17)$$

Cálculo final dos parâmetros do controlador PI

Pólos de malha fechada reais idênticos s_f :

$$T_2 s^2 + s + K_i K_a = T_2 (s - s_f)^2 \longrightarrow K_i = \frac{1}{4K_a T_2}$$

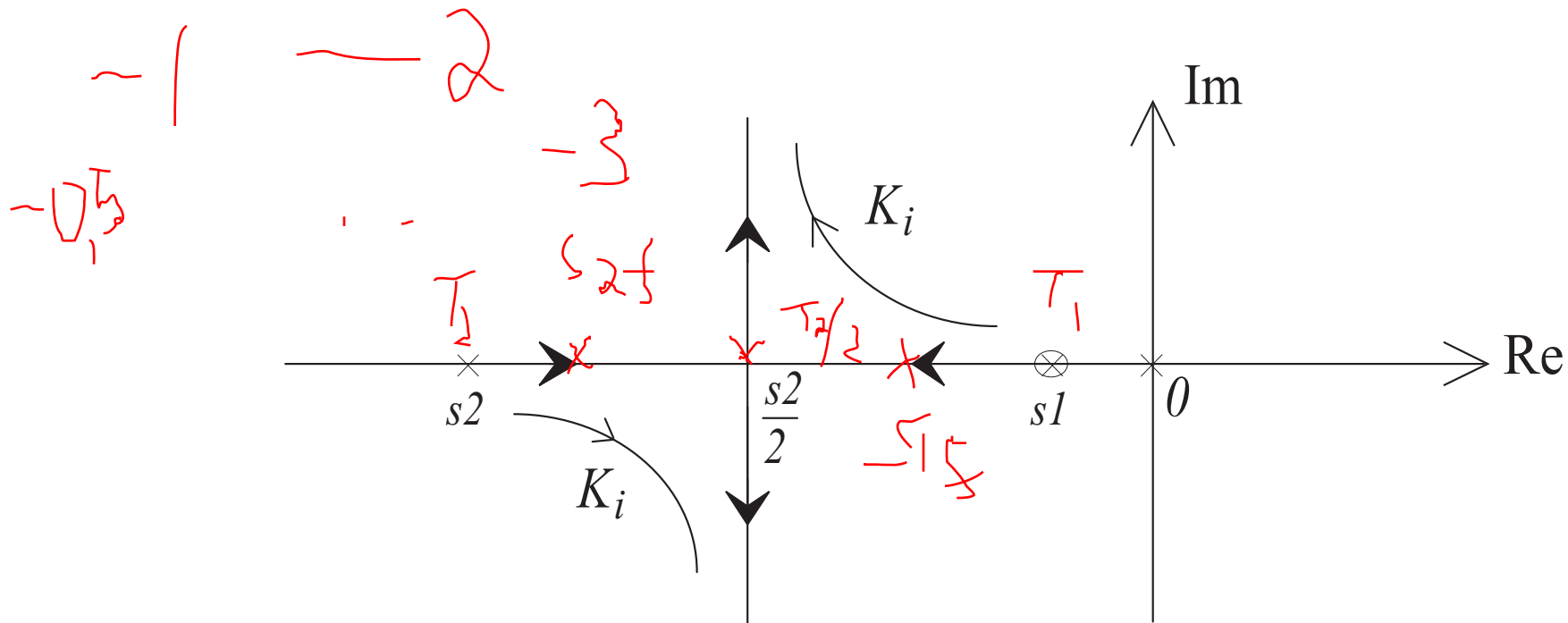
Resumo dos valores dos parâmetros do controlador:

$$s_f = -1/(2T_2) \quad (\text{pólo de malha fechada } s_f)$$

$$K_i = \frac{1}{4K_a T_2} \quad (\text{condição pólos reais idênticos})$$

$$K_p = T_1 K_i \quad (\text{condição de cancelamento})$$

Lugar da raízes dos pólos de malha fechada com PI

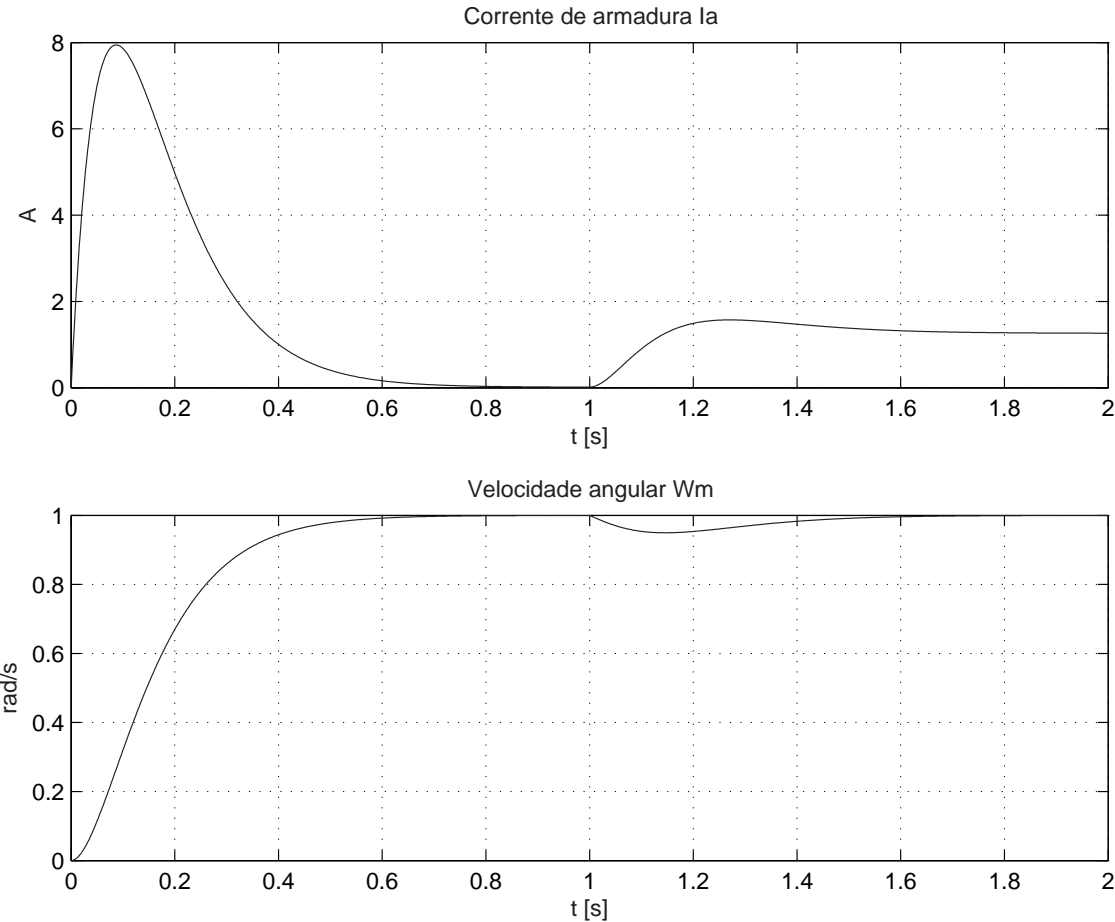


Evolução dos pólos com K_i crescente: malha aberta - reais idênticos - complexos.

Só é possível escolher pólos reais idênticos iguais $s_f = -1/(2T_2)$

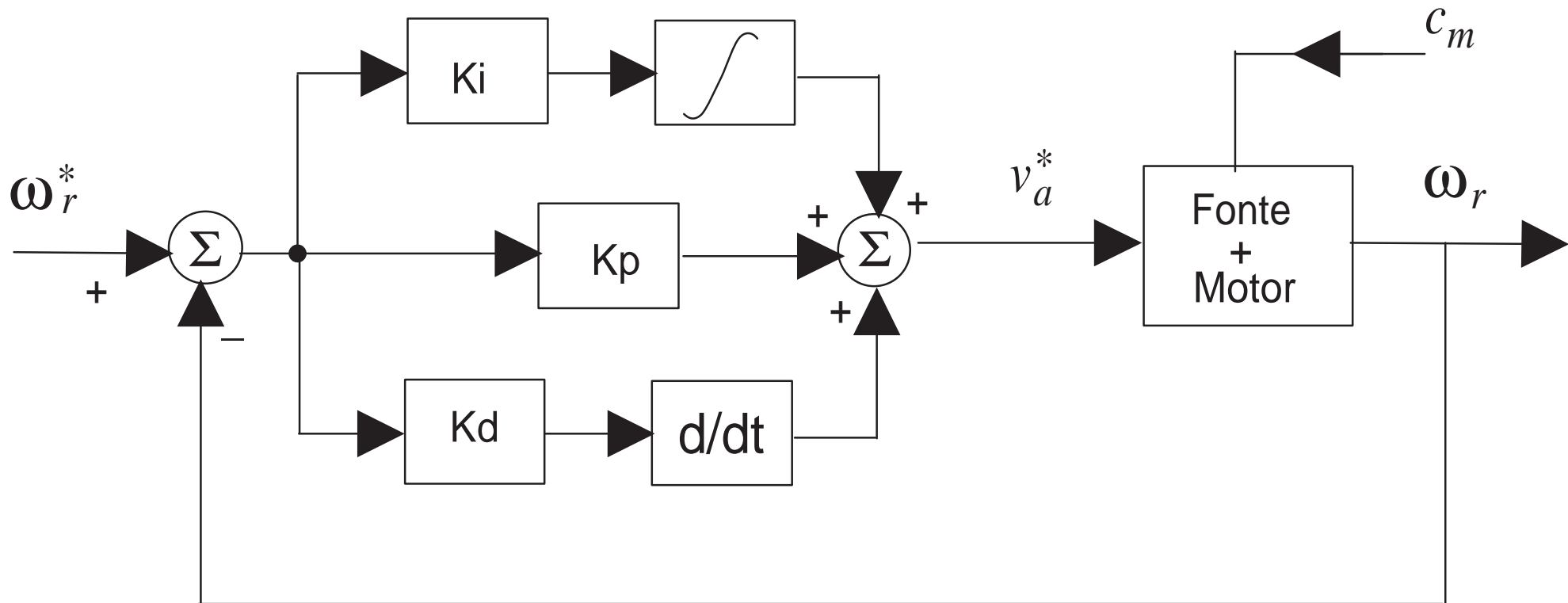
i.e. , os pólos de malha fechada dependem do pólo $1/T_2$ do motor.

Resposta no tempo - controlador PI



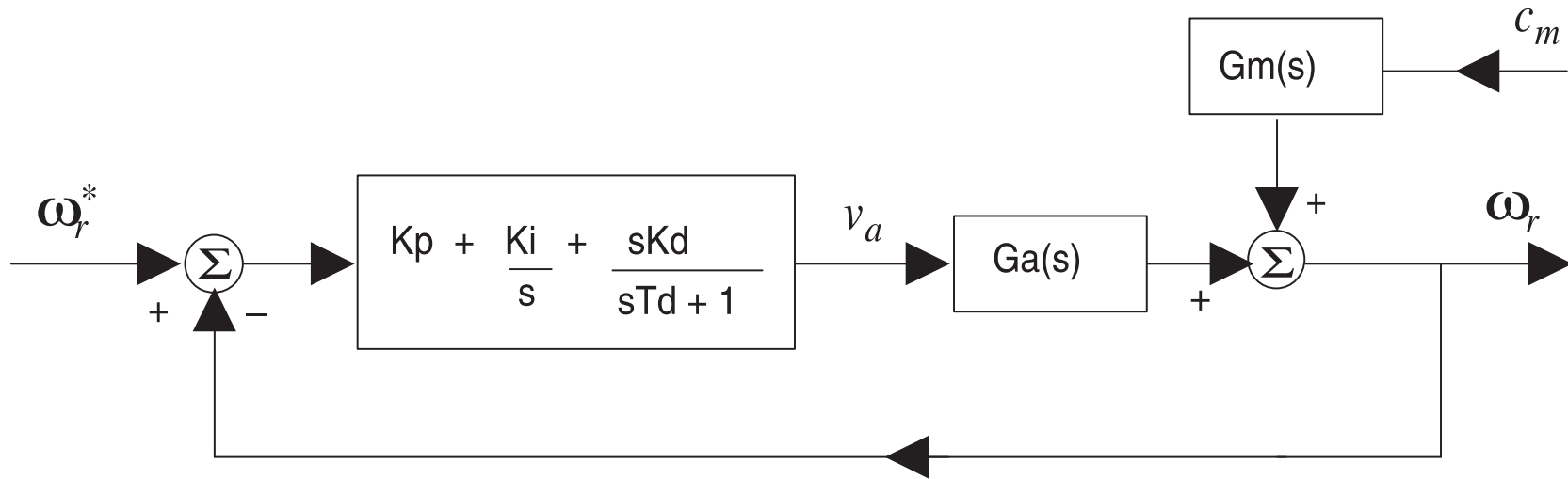
$$\begin{aligned} 0 < t < t_{max}/2 &\longrightarrow \omega_r^* = 1, c_m = 0 \\ t_{max}/2 < t < t_{max} &\longrightarrow \omega_r^* = 1, c_m = 1 \end{aligned}$$

Controle de velocidade PID (ação direta na tensão)



$$D(s) = K_p + \frac{K_i}{s} + K_d s \quad (18)$$

Sistema com controlador PID modificado



Função de transferência do controlador *PID* modificado:

$$D(s) = K_p + \frac{K_i}{s} + \frac{K_d s}{sT_d + 1} \quad (19)$$

$$D(s) = \frac{K_i \{ s^2 (T_d K_p + K_d) / K_i + s (T_d K_i + K_p) / K_i + 1 \}}{s(T_d s + 1)} \quad (20)$$

Função de transferência de malha aberta com PID

Função de Transferência de malha aberta (4ª ordem)

$$\frac{\Omega_r(s)}{E_\omega(s)} = G_o(s) = \frac{K_a}{T_1 T_2 s^2 + (T_1 + T_2)s + 1} \frac{K_i \{ s^2 (T_d K_p + K_d) / K_i + s (T_d K_i + K_p) / K_i + 1 \}}{s (T_d s + 1)}$$

Função de Transferência de malha aberta com cancelamento (2ª ordem):

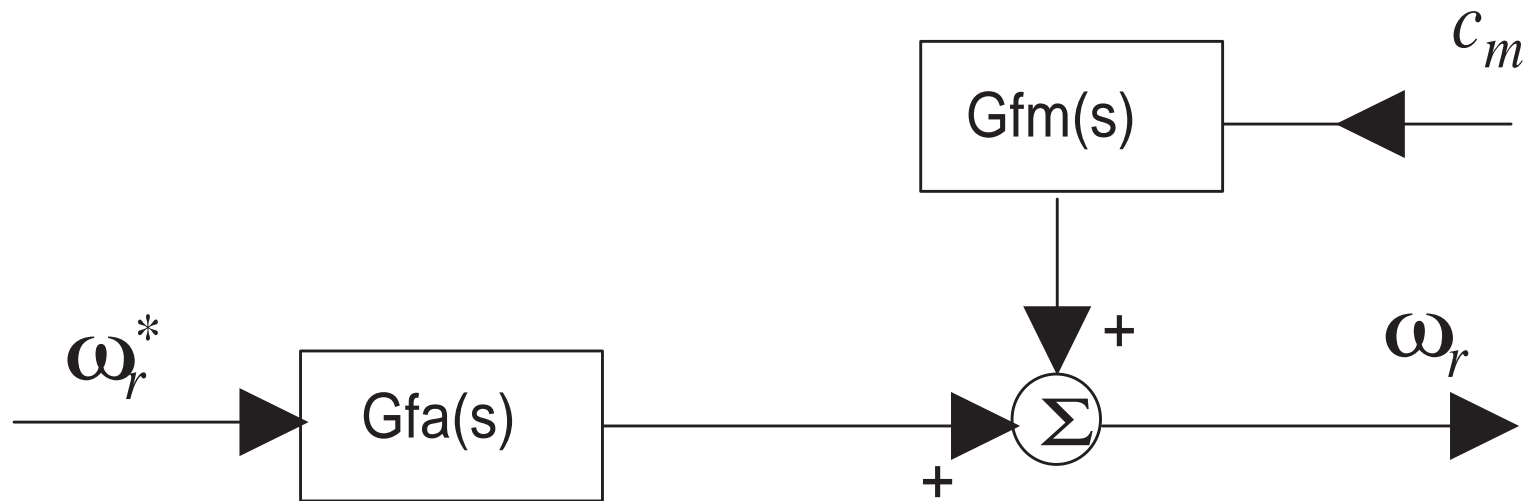
$$\frac{\Omega_r(s)}{E_\omega(s)} = G_o(s) = D(s) G_a(s) = \frac{K_i K_a}{s (T_d s + 1)} \quad (21)$$

Condição de cancelamento:

$$(T_d K_p + K_d) / K_i = T_1 T_2 \quad (22)$$

$$(T_d K_i + K_p) / K_i = (T_1 + T_2) \quad (23)$$

Função de transferência de malha fechada com PID



$$\frac{\Omega_r(s)}{\Omega_r^*(s)} = G_f(s) = \frac{G_o(s)}{1 + G_o(s)} = \frac{K_i K_a}{s(T_d s + 1) + K_i K_a} \quad (24)$$

$$\frac{\Omega_r(s)}{C_m(s)} = G_{fm}(s) = \frac{G_m(s)}{1 + G_o(s)} = -\frac{K_m (T_a s + 1) (T_d s + 1) s}{(T_1 s + 1) (T_2 s + 1) (s(T_d s + 1) + K_i K_a)} \quad (25)$$

Cálculo final dos parâmetros do controlador PID

Pólos de malha fechada reais idênticos ($s_f = -1/2T_d$):

$$T_d s^2 + s + K_i K_a = T_d (s - s_f)^2 \longrightarrow K_i = \frac{1}{4K_a T_d}$$

Resumo dos valores dos parâmetros do controlador:

$$T_d = -1/2s_f \quad (\text{pólo de malha fechada } s_f)$$

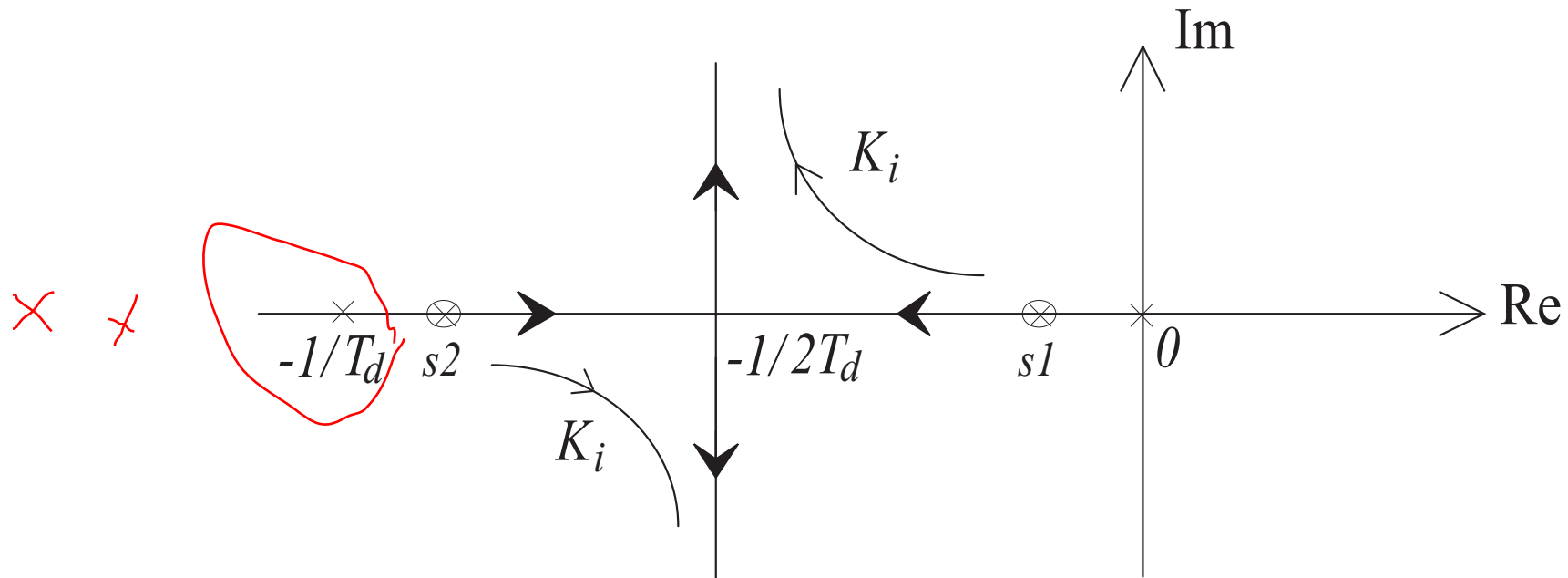
$$K_i = \frac{1}{4K_a T_d} \quad (\text{condição pólos reais idênticos})$$

$$K_p = (T_1 + T_2 - T_d) K_i$$

(condição de cancelamento)

$$K_d = [T_1 T_2 - (T_1 + T_2 - T_d) T_d] K_i$$

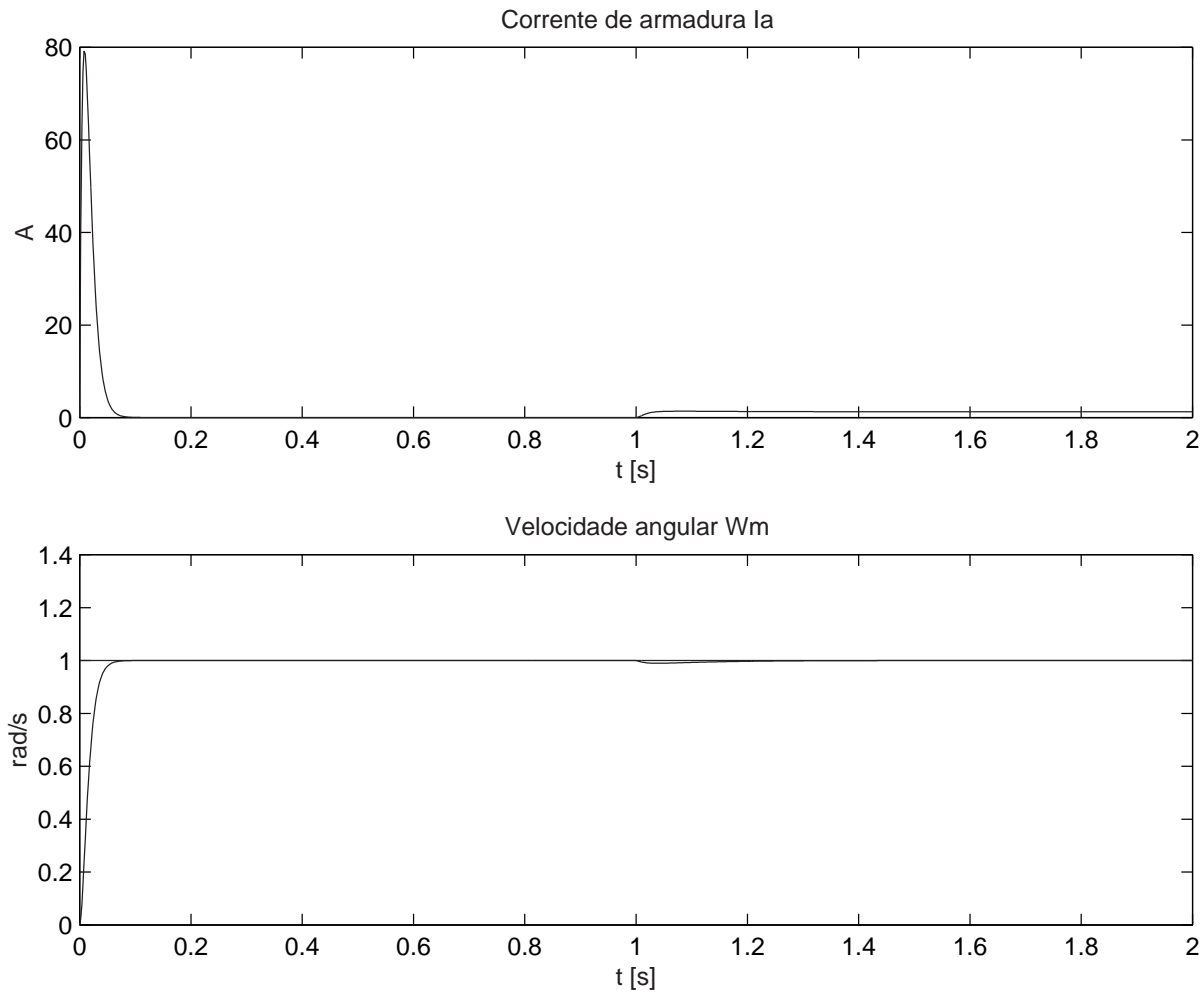
Lugar da raízes dos pólos de malha fechada com PID



Evolução dos pólos com K_i crescente: malha aberta - reais idênticos - complexos.

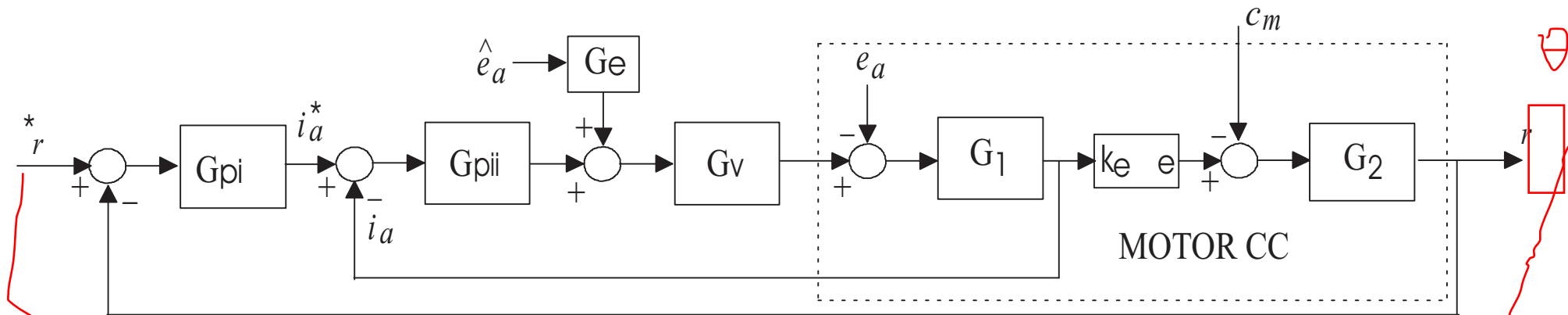
É possível alocar os pólos de malha fechada independente do motor.

Resposta no tempo - controlador PID

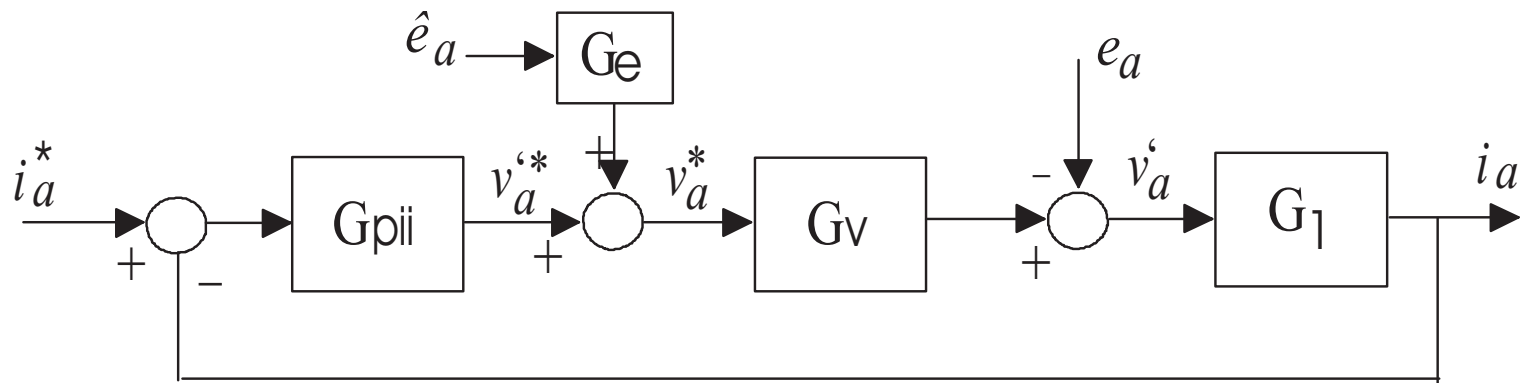


$$0 < t < t_{max}/2 \longrightarrow \omega_r^* = 1, c_m = 0$$
$$t_{max}/2 < t < t_{max} \longrightarrow \omega_r^* = 1, c_m = 1$$

Controle do Motor CC com Malha de Corrente Interna



Controlador de Corrente



Equação elétrica do motor CC

$$v_a = r_a i_a + l_a \frac{di_a}{dt} + e_a \quad (26)$$

$$v'_a = r_a i_a + l_a \frac{di_a}{dt} \quad (27)$$

onde $v'_a = v_a - e_a$ ($e_a = k_e \lambda_e \omega_m$ perturbação)

Função de transferência para a corrente do motor (1^a ordem)

$$I_a(s) = \frac{1/r_a}{T_a s + 1} V'_a(s) = G_1(s) V'_a(s) \quad (28)$$

Função de transferência da fonte de alimentação

$$V_a(s) = \frac{1}{T_v s + 1} V_a^*(s) = G_v(s) V_a^*(s) \quad (29)$$



Cálculo do Controlador de Corrente

Função de transferência saídas controlador/processo ($E_a = 0$):

$$I_a(s) = \frac{1/r_a}{(T_a s + 1)(T_v s + 1)} V_a'^*(s) = G_i(s) V_a'^*(s) \quad (30)$$

Função de transferência do PI (constante de tempo T_v muito pequena):

$$G_{pii}(s) = k_{pi} + \frac{k_{ii}}{s} = \frac{k_{ii}(s k_{pi}/k_{ii} + 1)}{s} \quad (31)$$

Função de transferência de malha aberta do sistema:

$$G_{oi} = G_{pii}(s) G_i(s) = \frac{(k_{ii}/r_a)(s k_{pi}/k_{ii} + 1)}{s(T_a s + 1)(T_v s + 1)} \quad (32)$$

Cancelando o pólo elétrico do motor com o zero do PI ($T_a = k_{pi}/k_{ii}$):

$$G_{oi}(s) = \frac{k_{ia}}{s(T_v s + 1)} \quad (33)$$

onde $k_{ia} = k_{ii}/r_a$.

Função de transferência de malha fechada G_{fi} é dada por:

$$G_{fi}(s) = \frac{k_{ia}}{s(T_v s + 1) + k_{ia}} = \frac{k_{ia}}{T_v s^2 + s + k_{ia}} \quad (34)$$

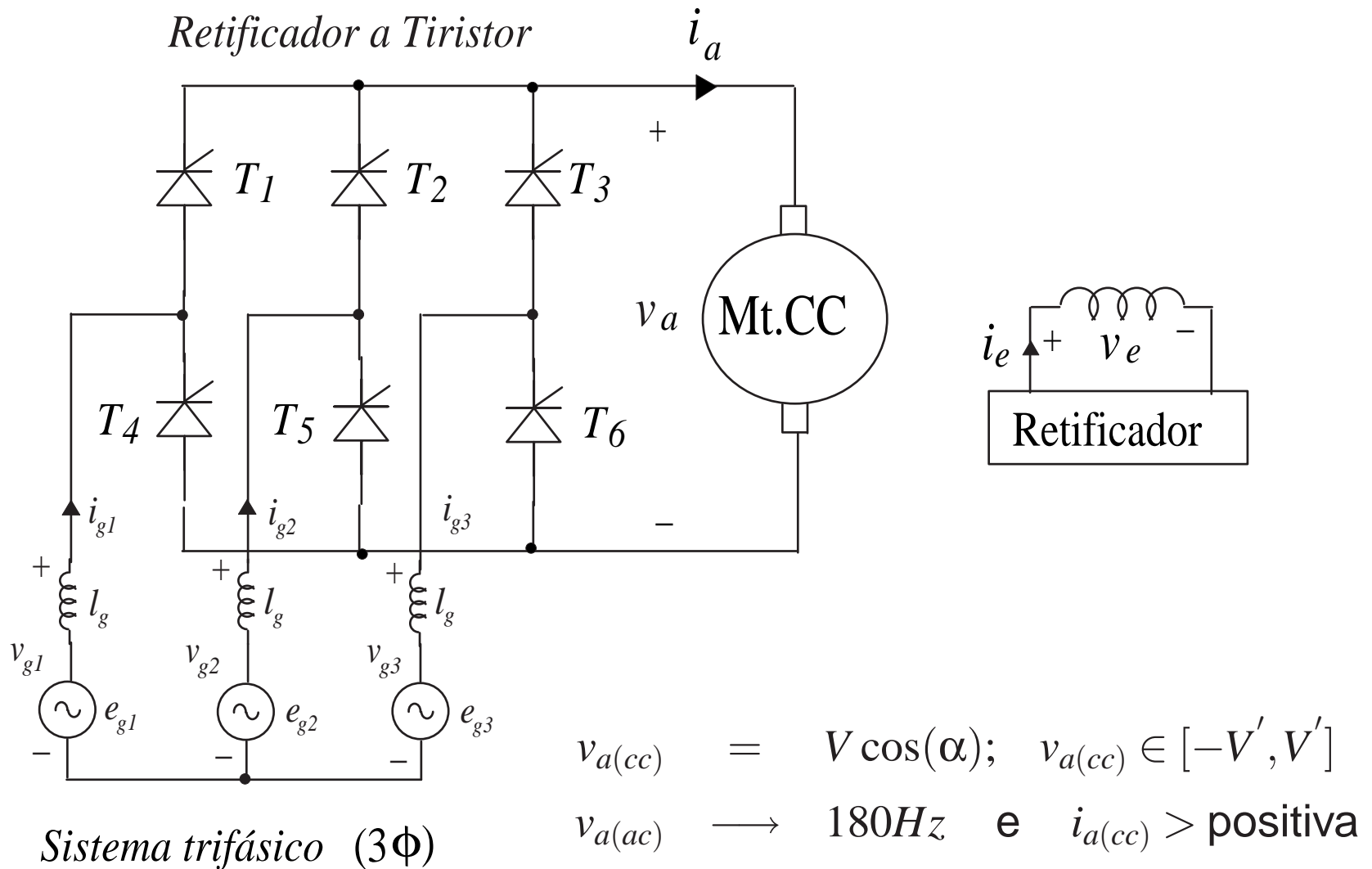
Pólos reais idênticos em malha fechada:

$$\begin{aligned} k_{ii} &= r_a/(4T_v) \\ T_a &= k_{pi}/k_{ii} \Rightarrow k_{pi} = r_a T_a/(4T_v) \end{aligned}$$

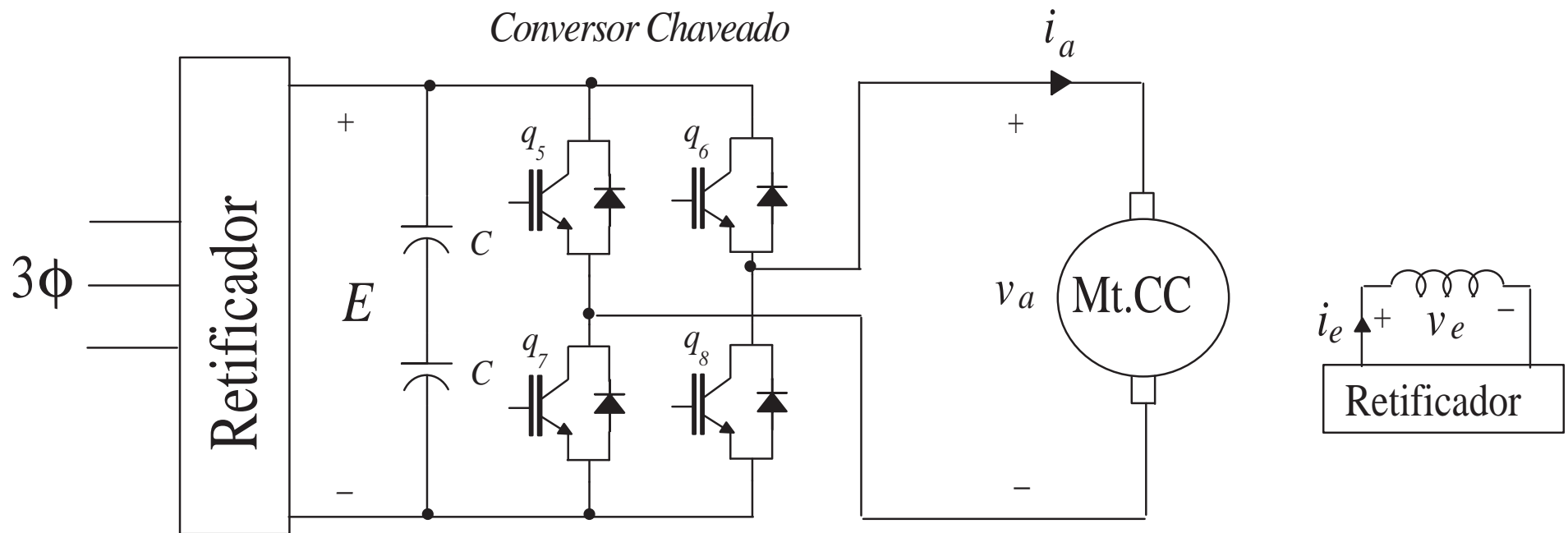
Função de transferência malha fechada resultante

$$I_a(s) = G_{fi}(s)I_a^*(s) = \frac{1}{(2T_v s + 1)^2} I_a^*(s) \cong \frac{1}{T_v' s + 1} I_a^*(s) \quad (35)$$

Fonte de tensão (retificador trifásico a tiristor)



Fonte de tensão (conversor chaveado)



$$v_{a(cc)} = \left(\frac{\tau}{T} - \frac{1}{2}\right)E; \quad v_{a(cc)} \in [-E/2, E/2]$$

$$v_{a(ac)} \longrightarrow 10kHz \quad \text{e} \quad i_{a(cc)} > \text{positiva ou negativa}$$